

九州工業大学 学生員 ○重広正治
 “ “ 島田嘉顕
 “ “ 正員 久保喜延
 “ “ 加藤九州男

まえがき

風の中に置かれた可撓性に富む構造物は、一般に風によって振動を誘起され易い。しかしながら、これらの構造物もその断面形状の違いにより振動発生の様相が異なる。橋梁に対して、最近行なわれている制振対策には、斜張橋におけるフラップやフェアリング、吊橋補剛桁における中央柵などがあるが、いずれも力学的に決定された断面を更に流体力学的に安定な断面にすべく種々の形状をした付属物を取り付けたものである。本報では、吊橋に上記のような付属物を取り付けることなく、トラス形状を変更することにより耐風制振効果を上げることができないかとの観点に立ち、今までほとんど検討されなかった吊橋のトラス補剛桁における主構幅の変更による耐風特性などのように変化するかを検討し、若干の考察を述べる。

実験および結果

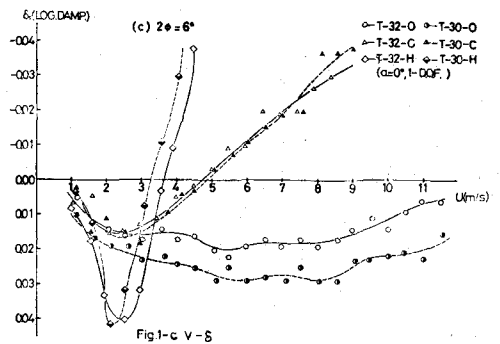
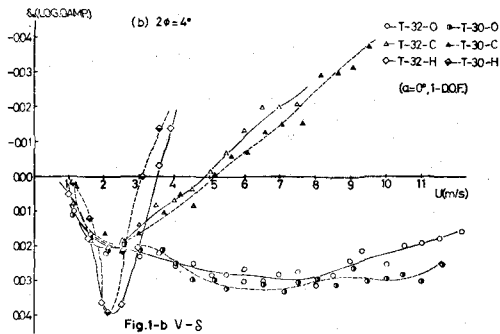
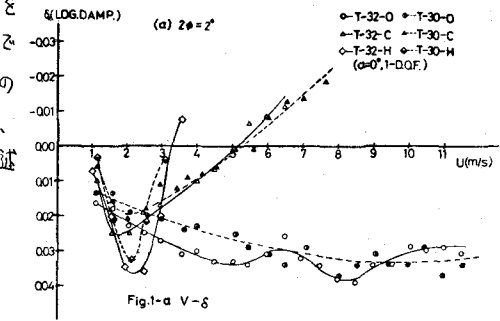
本実験は、南備讃瀬戸大橋の設計案として出されている主構幅3.2m、高さ13mの補剛トラスを有する吊橋を対象とし、実験に使用された模型は、断面が $\frac{1}{100}$ 縮尺の2次元部分模型である。なお、この部分模型は、主構幅の影響を見るために、その主構幅3.2cmを30cmに変更できるようにしている。実験の諸元は、系の振り固有振動数3.22Hz系の極慣性モーメント1542g cm²、模型長1060mm、模型重量2360gであり、実験は1070×1500mmの矩形断面測定部を有する風洞で実施した。

主構幅の異なるトラス補剛桁の上流側主構におけるはく離流が高欄や地覆部分にどのような影響を与えるかを検討するために次の3つのタイプに分類し、各タイプについて迎角をつけて実験を行なった。

- ①高欄および地覆を閉塞しない原型(T-O)
- ②T-Oのグレーチングを閉塞する(T-C)
- ③T-Cの地覆を閉塞する(T-H)

実験は、設定迎角 α° 、模型の断面のセンターを固定し、振り(自由度のもとで初期振幅を与え、各風速毎(0~12m/secまで0.5m/sec刻み)にフラッター特性の観測を行なった。

上記の方法によって得られる無風時の構造減衰係、各タイプ毎、主構幅毎に異なったため、次式(*)の成立を仮定して空力ダンピングを用いて結果を表示した。



構造減衰率を ζ_s 、構造物の固有円振動数を ω_s 、 α (deg) での空気力の実部 F_R 、虚部を F_I とすれば、無次元化した場合の系の運動方程式は次式で表現できる。

$$\ddot{x} + 2\zeta_s \omega_s \dot{x} + \omega_s^2 x = F_I \dot{x} + F_R x \dots (*)$$

これより

$$\ddot{x} + 2(\zeta_s - F_I/2\omega_s)\omega_s \dot{x} + (1 - F_R/\omega_s^2)\omega_s^2 x = 0 \dots (**)$$

(**) の解は

$$x = \lambda_0 e^{-(\zeta_s - F_I/2\omega_s)\omega_s t} \sin \omega t$$

送風時における系の対数減衰率を δ_{sta} とおけば、

$$\delta_{sta} = 2\pi (\zeta_s - F_I/2\omega_s)$$

ゆえに、過渡応答時の空力ダンピングは、

$$\delta_a = \delta_{sta} - \delta_s = -\pi F_I/\omega_s$$

で与えられる。また、定常振動においては、主構幅 30 cm から 32 cm (以後単に主構幅 30, 32 と記す) のいずれが小さい方の構造減衰率に一致するように、減衰率の線形性を仮定して双方の差異の分だけ定常振幅の補正を行なった。

Fig 1 の (a) ~ (c) は、迎角 $\alpha = 0^\circ$ における倍振幅 2°, 4°, 6° に対する $V-\delta$ 曲線で、縦軸は前述の δ_a であり、横軸は風速である。図に示されているように、T-O, C, H において主構幅の影響はわずかながらあられれている。T-H を除けば傾向として主構幅 30 の方が、耐風安定性が良いようである。T-H においては、他の 2 つのタイプと異なる結果を得たが、これは高欄とグレーチングを閉塞することにより、上流側主構におけるはく離流の挙動が変化したために空力特性が逆転したと思われる。また Fig 2 は $V-A$ 曲線で、縦軸は倍振幅(度)横軸は風速を示している。図中の右側(T-C)の主構幅 30 を示す破線は構造減衰の補正を行っていないものであり、太い点鎖線はそれを主構幅 32 の構造減衰に対して補正を行なったものがある。左側の T-H も同様に、実線が補正を行っていないものを、太線がそれを主構幅 30 の構造減衰に対して補正を行なったものがある。T-H は Fig 1 で考察したものとほぼ同一の傾向を示しているが、T-C の場合、風速が定常振幅を発生させる領域に入ると主構幅の差による影響が顕著となることかわかる。

あとがき

T-O について、上述の迎角 $\alpha = 0^\circ$ の観測結果をみると、実験に用いた風速域では定常振動は発生していないが、正の迎角をつけた場合(当日発表する)の T-O は迎角 $\alpha = 2^\circ$ で 7 ~ 8 m/s の風速から定常振動域となる。この発振風速は主構幅 32 と 30 とでは明確な差があり、風洞実験において発振風速 1 m/s 前後の差があっても、この断面においては実風速が 10 m/s 前後の差となるわけであるから、より好ましい主構幅を選ぶことにより、耐風特性を良くすることは、安全性、経済性という工学的観点も検討すべき重要な点となり得る。また、このような主構幅の違いによる応答特性の差について議論する場合、流体力学的視点からそのメカニズムを知ることが必要となる。このことについてはスモークワイヤ法等の流れの可視化により、主構幅からのはく離流を追跡することによって可能となると考えている。次に T-C, T-H についてみると、定常振動は高欄を閉塞するか否かによって主構幅 32 と 30 とでは、風速に対する応答特性は全く逆の傾向を示している。このことは単に主構幅の差によるものではなく、高欄および地覆との相対的位置関係によるものであることを示しており、これらについて更に検討することとしている。

本研究は、文部省の科学研究費にもとづくものであり、東京大学工学部伊藤学教授、宮田利雄助教授からの助言に負うところが大きい。ここに深甚の謝意を表す。

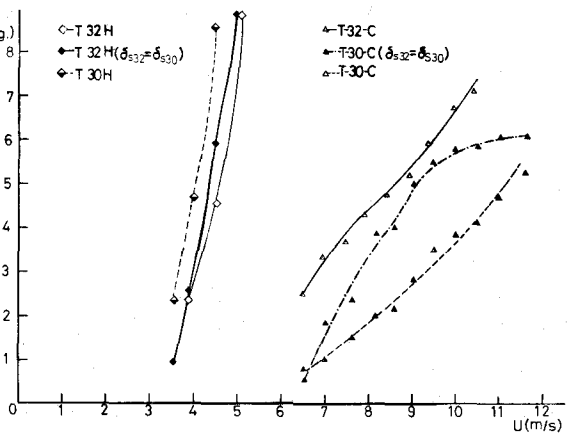


Fig.2 V-A